

УДК 538.931

©1993

## ФОНОННЫЕ ВРЕМЕНА РЕЛАКСАЦИИ В ВИСМУТЕ

*В.Д.Каган, Н.А.Редъко*

Проведено исследование коэффициента теплопроводности  $\kappa_{22}$  ( $\nabla T \parallel C_1$ ) сплавов  $\text{Bi}_{1-x}\text{Sb}_x$  ( $0.085 \leq x \leq 0.15$ ) в интервале температур  $2 < T < 20$  К. Установлено, что зависимости коэффициента теплопроводности сплавов от температуры, концентрации примеси и поперечных размеров образца хорошо описываются теорией теплопроводности «грязных» диэлектриков. Из сопоставления экспериментальных данных о коэффициенте теплопроводности сплавов  $\kappa_{22}$  с теорией найдены величины времен релаксации фонон-примесного  $\tau_i^{-1} = 2.2 \cdot 10^{-40} x \omega^4$  и нормального фонон-фононного рассеяния  $\tau_N^{-1} = 1.7 \cdot 10^{-9} \omega T^4$  для дотепловых фононов. Здесь время  $\tau$  измеряется в секундах, частота  $\omega$  — в герцах, температура  $T$  — в градусах Кельвина,  $x$  — относительная концентрация Sb в сплаве  $\text{Bi}_{1-x}\text{Sb}_x$ .

Выполнено сравнение найденного времени релаксации нормального фонон-фононного рассеяния для дотепловых фононов сплава с временем релаксации нормального фонон-фононного рассеяния тепловых фононов чистого висмута, которое оценено из данных по размерному эффекту теплопроводности и распространению тепловых импульсов.

При низких температурах основным процессом релаксации в фононной системе кристалла являются нормальные процессы рассеяния фононов друг в друге, обусловленные ангармонизмом колебаний решетки кристалла. Хотя сами по себе они не могут ограничить возникший тепловой поток, поскольку полный квазиймпульс фононов при учете только  $N$ -процессов в кристалле сохраняется, тем не менее они являются важной характеристикой фононной системы наряду с резистивными процессами (процессы переброса фононов, рассеяние фононов на примесях и на границах образца).

Для висмута время релаксации нормальных фонон-фононных процессов  $\tau_N$  определялось из экспериментов по теплопроводности [1] и тепловым импульсам в режиме второго звука [2]. Полученные этими группами авторов данные о времени релаксации различались между собой по величине в семь раз, причем  $\tau_N$  было обратно пропорционально четвертой степени температуры. Если в работе [2] эксперименты выполнялись на чистых монокристаллических образцах висмута, то в [1] — на висмуте с малым содержанием примесей. В обоих случаях нормальные фонон-фононные процессы являются для тепловых фононов основным процессом рассеяния.

В сплаве  $\text{Bi}_{1-x}\text{Sb}_x$  с содержанием сурьмы  $0.08 < x < 0.16$  фононная теплопроводность определяется рассеянием фононов на примесях, которыми являются атомы сурьмы, и фонон-фононным рассеянием. При этом для тепловых фононов в таких сплавах преобладает фонон-примесное

рассеяние и фононная теплопроводность в них описывается теорией теплопроводности для «грязных» диэлектриков [3]. В нашей статье [3] проанализированы различные зависимости фононной теплопроводности «грязных» сплавов  $\text{Bi}_{1-x}\text{Sb}_x$  ( $0.08 < x < 0.16$ ) от концентрации примесей, температуры и поперечных размеров образца.

Цель настоящей статьи — получить численные величины обратных времен релаксации для фонон-фононного и фонон-примесного рассеяния, используя характерные экспериментальные зависимости коэффициента фононной теплопроводности.

## 1. Теоретический анализ фононной теплопроводности висмута

В висмуте фононный спектр анизотропен, но в данной статье при анализе фононной теплопроводности мы ограничимся простой моделью, включающей в себя три ветви акустических фононов с одной средней скоростью  $v$ . Для бесконечной среды коэффициент теплопроводности  $\kappa$  определяется интегралом по всем импульсам фононов  $q$  и всем ветвям  $n = 3$

$$\kappa = \frac{n}{3 \cdot (2\pi)^3} \int_0^{\infty} v^2 \tau(\omega_q) \hbar \omega_q \frac{\partial N_0(\omega_q)}{\partial T} d^3 q. \quad (1)$$

Здесь  $\omega_q = qv$  — частота фона;  $N_0$  — планковская функция распределения;  $\tau(\omega_q)$  — время релаксации, включающее в себя как процессы фонон-примесного ( $\tau_i$ ), так и нормального фонон-фононного рассеяния ( $\tau_N$ )

$$\tau^{-1}(\omega_q) = \tau_i^{-1}(\omega_q) + \tau_N^{-1}(\omega_q), \quad (2)$$

$$\tau_i^{-1}(\omega_q) = Ax\omega_q^4 = \tau_1^{-1}(\hbar\omega_q/kT)^4, \quad \tau_1^{-1} \sim T^4, \quad (3)$$

$$\tau_N^{-1}(\omega_q) = B\omega_q T^4 = \tau_2^{-1}(\hbar\omega_q/kT), \quad \tau_2^{-1} \sim T^5, \quad (4)$$

где  $x$  — относительная концентрация примеси, например Sb в сплаве  $\text{Bi}_{1-x}\text{Sb}_x$ , которая определяет время релаксации  $\tau_i$ .

В «грязном» диэлектрике процессы рассеяния фононов на примесях являются преобладающими, и, согласно (3), частота рассеяния фононов на примесях тем больше, чем больше частота фононов. Поэтому для дотепловых фононов ( $\hbar\omega \ll kT$ ) частота рассеяния фононов на примесях намного меньше, чем для тепловых. Этот факт, как отмечалось в нашей работе [3] при анализе теплопроводности «грязных» диэлектриков, приводит к необходимости учета рассеяния фононов на примесях, так и на фонах. Вычисление интеграла в формуле (1) приводит к результату

$$\kappa = \frac{nk^4 T^3}{3^{5/2} \pi \hbar^3 v} \tau_1^{2/3} \tau_2^{1/3} - \frac{nk^4 T^3}{12\pi^2 \hbar^3 v} \tau_1. \quad (5)$$

Первое слагаемое в этой формуле отвечает температурной и концентрационной зависимости  $T^{-4/3}x^{-2/3}$ . Подробное обсуждение этой зависимости содержится в [3], где показано, что основной вклад в первый

член дают дотепловые фононы. При этом вклад тепловых фононов в первое слагаемое был несколько завышен, поскольку при вычислении для них была принята функция распределения Релея-Джинса, а нужно было принять планковскую функцию распределения. Преобразование формулы (1), учитывавшее это обстоятельство, позволило выделить главный поправочный член — второе слагаемое в (5); понятно, что оно вычитается из основного слагаемого. Другие поправки к основному члену будут содержать малый параметр  $\tau_1/\tau_2$ , и это еще раз указывает на преимущественную роль фонон-примесного рассеяния для тепловых фононов в «грязных» диэлектриках. Отношение поправочного члена к основному в формуле (5) равно  $(3^{3/2}/4\pi)(\tau_1/\tau_2)^{1/3}$ , и это отношение из-за дробной степени остается заметным даже при малых значениях  $\tau_1/\tau_2$ . Таким образом, наличие поправочного члена в формуле (5) расширяет пределы ее применимости.

При понижении температуры рассеяние фононов на границах становится все более существенным, и в результате оно может стать более важным, чем слабое фонон-фононное рассеяние. В этих условиях мы должны построить решение кинетического уравнения для фононов в ограниченном образце. Выберем в виде цилиндра радиуса  $R = d/2$ , считая, что градиент температуры приложен вдоль оси цилиндра  $z$ . Вид функции распределения фононов существенно зависит от закона рассеяния их на боковой поверхности образца, который определяет граничное условие на фононную функцию распределения  $n_q$ . Задавая условие диффузного отражения, найдем функцию распределения, линейно зависящую от градиента температуры  $dT/dz$

$$n_q = -v_z \tau \frac{dT}{dz} \frac{\partial N_0}{\partial T} \left\{ 1 - \exp \left[ \frac{-(xv_x + yv_y) + (R^2 - (xv_y - yv_x)^2)^{1/2}}{\tau(v_x^2 + v_y^2)^{1/2}} \right] \right\}, \quad (6)$$

где  $v_i$  — компоненты вектора скорости фонона. Вычисляя с этой функцией распределения полный поток энергии и усредняя его по круговому сечению образца, получаем следующее выражение в максимуме теплопроводности:

$$\begin{aligned} \kappa_M &= \frac{256}{297} \frac{n\Gamma^2(7/8)\Gamma^2(5/8)}{\pi^3\Gamma(1/4)} \frac{k^4 T^3}{\hbar^3 v^{5/4}} d^{1/4} \tau^{3/4} - \frac{nk^4 T^3}{12\pi^2 \hbar^3 v} \tau_1 \simeq \\ &\simeq 0.0562 \frac{k^4 T^3}{\hbar^3 v^{5/4}} d^{1/4} \tau_1^{3/4} - \frac{k^4 T^3}{4\pi^2 \hbar^3 v} \tau_1. \end{aligned} \quad (7)$$

Первое слагаемое в (7) дает основной вклад в теплопроводность и не зависит от температуры, поскольку оно обусловлено не зависящим от температуры совместным рассеянием фононов на примесях и границах образца и имеет дробную степенную зависимость от поперечного размера образца и концентрации примеси  $\kappa_M \sim d^{1/4} x^{-3/4}$ . Второе слагаемое в (7) является поправочным и совпадает с таким же членом в (5). Его происхождение мы обсудили выше.

Представленные формулами (5) и (7) зависимости теплопроводности от температуры, концентрации примеси и поперечных размеров образца экспериментально подтверждаются измерениями теплопроводности в сплавах  $\text{Bi}_{1-x}\text{Sb}_x$  ( $0.08 < x \leq 0.15$ ), и это позволяет определить время релаксации фононов при рассеянии их на примесях  $\tau_1$  и друг на друге  $\tau_2$ .

## 2. Экспериментальные результаты и нахождение времени релаксации фононов

Для измерения коэффициента теплопроводности  $\kappa_{22}$  в сплавах  $\text{Bi}_{1-x}\text{Sb}_x$  ( $0 < x \leq 0.15$ ) использовались монокристаллические образцы в виде прямоугольного параллелепипеда с размерами, не превышающими  $4 \times 4 \times 40$  мм. Величина теплопроводности  $\kappa_{22}$  определялась методом стационарного потока тепла через образец ( $\nabla T \parallel C_1$ ), который был пришвартован дну вакуумной камеры, помещенной в термостатирующую жидкость (азот, водород, гелий). В чистом висмуте и в сплавах  $\text{Bi}_{1-x}\text{Sb}_x$  в температурном интервале  $2 < T < 20$  К перенос тепла осуществляется в основном фононами, а при  $T > 20$  К к фононам подключаются и электроны. Выделение фононной составляющей теплопроводности осуществлялось путем подавления электронной доли теплопроводности классическим сильным магнитным полем.

Характерные температурные зависимости фононной теплопроводности  $\kappa_{22}(T)$  сплавов  $\text{Bi}_{1-x}\text{Sb}_x$  ( $0 \leq x \leq 0.15$ ) представлены на рис. 1. Температурная зависимость фононной теплопроводности висмута при  $T_M \approx 3.5$  К  $< T < 10$  К является экспоненциальной [4,5], а в сплавах  $\text{Bi}_{1-x}\text{Sb}_x$  — степенной. Причем фононная теплопроводность сплавов  $\text{Bi}_{1-x}\text{Sb}_x$  ( $0.085 \leq x \leq 0.15$ ) хорошо описывается теорией теплопровод-

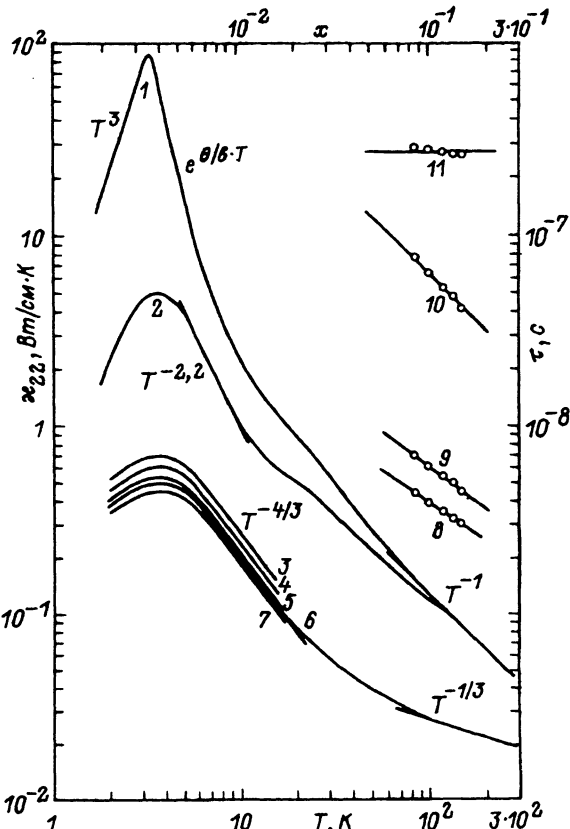


Рис. 1. Температурная зависимость фононной теплопроводности  $\kappa_{22}(T)$  монокристаллических образцов ( $\nabla T \parallel C_1$ ) сплавов на основе висмута (1-7). Зависимость от концентрации Sb в сплаве  $\text{Bi}_{1-x}\text{Sb}_x$  ( $0.085 \leq x \leq 0.15$ ) для теплопроводности при  $T = 7$  К (кривая 8,  $\kappa \sim x^{-2/3}$ ) и в максимуме при  $T = 4$  К (кривая 9,  $\kappa_M \sim x^{-3/4}$ ), а также для времени релаксации фононов  $\tau_i(x)$  (кривая 10,  $\tau_i(x) \sim x^{-1}$ ) и  $\tau_N(x)$  (кривая 11,  $\tau_N(x) = \text{const}$ ).

1 — чистый висмут [4];  
2-7 — сплавы  $\text{Bi}_{1-x}\text{Sb}_x$  следующего состава:  $x = 0.001$  (2),  $0.085$  (3),  $0.1$  (4),  $0.12$  (5),  $0.135$  (6),  $0.15$  (7).

ности «грязных» диэлектриков [3]. Приведенные в формуле (5) дробные степенные зависимости теплопроводности от температуры и концентрации сурьмы подтверждаются экспериментально в сплавах Bi – Sb при  $4 < T < \theta \approx 120$  К (кривые 3–8 на рис. 1). Экспериментальные данные при  $T > \theta$  (кривые 2, 6 на рис. 1) хорошо описываются теорией. Они были проанализированы нами в работе [3]. Температура максимума теплопроводности  $T_M$  сплавов  $\text{Bi}_{1-x}\text{Sb}_x$  располагается вблизи  $T = 4$  К, при этом форма максимума теплопроводности с увеличением концентрации Sb становится более пологой. Для сплавов  $\text{Bi}_{1-x}\text{Sb}_x$  ( $0.085 \leq x \leq 0.15$ ) фоновая теплопроводность в области максимума описывается формулой (7). Зависимость теплопроводности сплавов в максимуме от концентрации Sb  $\kappa_M \sim x^{-3/4}$  подтверждается экспериментально (кривая 9 на рис. 1). В работе [3] показано, что выполняется и зависимость  $\kappa_M \sim d^{1/4}$ . Там же содержится ее обсуждение.

Данные о теплопроводности сплавов  $\text{Bi}_{1-x}\text{Sb}_x$  ( $0.085 \leq x \leq 0.15$ ) как в максимуме, так и в температурном интервале  $7 \leq T \leq 16$  К позволяют при совместном решении уравнений (5) и (7) найти времена релаксации фононов при рассеянии их на примесях  $\tau_1$  и друг на друге  $\tau_2$ . Для решения уравнений важно выбрать оптимальное значение средней скорости фонона. Средняя скорость  $v$  в дебаевской модели связана с предельной частотой  $k\theta/\hbar$  и концентрацией атомов вещества  $n_0$  следующим образом [6]:

$$v = \frac{k\theta}{\hbar} (6\pi^2 n_0)^{-1/3}, \quad (8)$$

где  $\theta$  — температура Дебая. При этом дебаевская модель дает для фоновой теплоемкости при низких температурах известную формулу

$$C = \frac{12}{5} \pi^4 n_0 \left( \frac{T}{\theta} \right)^3. \quad (9)$$

Для висмута концентрация атомов равна  $2.82 \cdot 10^{22}$  см<sup>-3</sup> и термометрические данные удовлетворяют формуле (9) с температурой Дебая  $\theta = 120$  К. Отсюда мы получаем среднюю скорость  $v = 1.3 \cdot 10^5$  см/с. Найденные величины  $\tau_1$  и  $\tau_2$  при  $T = 7$  К представлены на рис. 1 (кривые 10 и 11). Соотношение между этими величинами  $\tau_2 > \tau_1$  согласуется с теми предположениями, на основании которых были получены формулы (5) и (7). В рассматриваемых интервалах изменения температуры и концентрации Sb в сплавах Bi – Sb мы смогли выделить температурную и концентрационную зависимости параметров  $\tau_1$  и  $\tau_2$ . Отметим, что степенные зависимости времени релаксации фононов  $\tau_1$  и  $\tau_2$  от температуры и концентрации примеси целочисленные и совпадают с исходными данными теории так же, как и то, что коэффициент теплопроводности имеет дробные степенные зависимости.

Критической проверкой полученных нами данных для  $\tau_1$  и  $\tau_2$  является выполнимость для них теоретических зависимостей от температуры и концентрации примеси. Согласно теории,  $\tau_1^{-1}$  должно быть пропорционально концентрации примеси, а  $\tau_2^{-1}$  не должно зависеть от концентрации примеси. Их температурные зависимости, согласно (3) и (4), также

должны быть четко определенными:  $\tau_1^{-1} \sim T^4$ ,  $\tau_2^{-1} \sim T^5$ . Наши экспериментальные данные допускают эту критическую проверку и с хорошей точностью согласуются с указанными зависимостями. Значения времен релаксации фононов  $\tau_1$  и  $\tau_2$ , определенные по данным теплопроводности сплавов  $\text{Bi}_{1-x}\text{Sb}_x$  в интервале температур  $7 \leq T \leq 16$  К и концентраций  $\text{Sb}$   $0.085 \leq x \leq 0.15$ , позволили найти коэффициенты  $A$  и  $B$  в формуле (3)  $\tau_1^{-1} = Ax(kT/\hbar)^4$  и в формуле (4)  $\tau_2^{-1} = BkT^5/\hbar$ :  $A = 2.2 \cdot 10^{-40} \text{с}^3$  и  $B = 1.7 \times 10^{-9} \text{К}^{-4}$ .

При нахождении времен релаксации мы считали, что как поперечные, так и продольные фононы дают вклады в теплопроводность с одинаковой температурной зависимостью (5). Но если для поперечных фононов это естественно (формула (5а) статьи [3]), то для продольных фононов требуется выполнение довольно жесткого условия (формула (7а) статьи [3]). Однако, проверка показывает, что это условие не выполняется. Оказалось, что для продольных фононов основной вклад в теплопроводность дают процессы Херринга (формула (8в) статьи [3]) и теплопроводность должна быть обратно пропорциональна квадрату температуры. Такая зависимость не согласуется с дробной зависимостью, наблюдаемой на эксперименте. Приходится признать, что вклад продольных фононов является численно малым слагаемым по сравнению со слагаемыми, определенными поперечными фононами и приводящими к рассмотренной выше зависимости (5). Вывод об определяющей роли поперечных дотепловых фононов в теплопроводности сплавов  $\text{Bi} - \text{Sb}$  кажется нам существенным.

Отметим, что при нахождении времени релаксации нормальных фонон-фононных процессов из дробной температурной зависимости (5) в первом слагаемом этой формулы для числа степеней свободы  $n$  надо бы

использовать значение два, а не три, но это обстоятельство несколько компенсируется тем, что в этом слагаемом надо использовать значение скорости медленной волны. Все это снижает точность определения времени  $\tau_2$ , но порядок величины остается верным.

Мы использовали выше изотропную модель, тогда как висмут — анизотропный материал, и желательно понять, как сильно может изменить наши основные расчетные формулы (5) и (7) учет анизотропии упругости. Поэтому была развита приближенная теория в модели поперечно-изотропной упругой среды, позволившая учесть влияние анизотропии упругости на термодинамику и кинетику фононов в висмуте. Мы приведем без вывода изменение формул (5) и (7).

С учетом анизотропии тензор теплопроводности имеет две независимые компоненты: вдоль и поперек кристаллической оси симметрии третьего порядка. Экспериментальные данные получены для случая, когда градиент температуры перпендикулярен оси симметрии. Тогда в формуле (5) надо заменить  $v^{-1}$  на  $(\rho)^{1/2} (C_{33}^{-1/2} + 2C_{44}^{-1/2})/3$ , где  $\rho = 9.8 \text{ г}/\text{см}^3$  — плотность, а  $C_{33} = 40.6 \cdot 10^{10}$  и  $C_{44} = 12.9 \cdot 10^{10} \text{ дин}/\text{см}^2$  — модули упругости висмута [7]. Подстановка этих данных уменьшает коэффициент в формуле (5) на 3%. В формуле (7) во втором, поправочном, слагаемом надо провести ту же замену, что и в (5), а в первом, основном, слагаемом надо заменить  $v^{-5/4}$  на  $\rho^{5/8}(C_{44}^{-5/8} + C_{11}^{-1/2}C_{33}^{-1/8} + C_{66}^{-1/2}C_{44}^{-1/8})/3$ , где

$C_{11} = 68.7 \cdot 10^{10}$ ,  $C_{66} = 22.5 \cdot 10^{10}$  дин/см<sup>2</sup> [7]. Модифицированная формула (7) при этом также изменяется на малую величину.

Таким образом, времена релаксации, определенные в этой анизотропной модели, будут с хорошей точностью совпадать с временами релаксации, определенными в изотропной модели. Небольшому различию можно не придавать серьезного значения, так как это различие меньше, чем точность модели поперечно-изотропной упругой среды.

### 3. Обсуждение времени релаксации фононов в висмуте

Напомним, что основной вклад в выражение (5) дают дотепловые фононы с частотой  $\omega_m$ , много меньшей частоты теплового фонона  $kT/\hbar$ . При частоте  $\omega_m$  величины обратного времени релаксации  $\tau_1^{-1}(\omega_m)$  и  $\tau_N^{-1}(\omega_m)$  становятся равными. В  $\tau_N^{-1}(\omega_m)$  мы учитывали только те процессы фонон-фононного взаимодействия, которые содержат наименьшую степень частоты фонона. К таким процессам, согласно [3], относятся процессы Ландау-Румера. Они описываются формулой (4). Обработка экспериментальных данных теплопроводности сплавов Bi – Sb подтвердила эту зависимость и, таким образом, дала нам полное знание о времени релаксации дотепловых фононов ( $\hbar\omega_q \ll kT$ ). Казалось бы, можно расширить пределы применимости формулы (4), положив в ней  $\hbar\omega_q = kT$ , и тем самым заключить, что  $\tau_2$  является временем релаксации тепловых фононов. Такое заключение обычно проводилось во многих работах по теплопроводности (см., например, [8]).

Мы считаем, что при этом не учтены два существенных обстоятельства. Первое — формула Ландау-Румера получена для  $\hbar\omega_q \ll kT$ , а при больших частотах выражение для обратного времени релаксации такого процесса усложняется и не совпадает с формулой (4). Так, можно показать, что для сверхтепловых фононов ( $\hbar\omega_q \gg kT$ ) в этой формуле возникает существенный множитель  $\exp[-(v_l/v_t - 1)\hbar\omega_q/2kT]$ , где  $v_l$  и  $v_t$  — скорости продольного и поперечного звука. Таким образом, при переходе от малых к большим частотам происходит существенное изменение в энергетической зависимости времени релаксации и сохранять в ней зависимость (4), характерную для низкочастотного предела, нет никаких оснований. Второе обстоятельство — для тепловых фононов вполне заметны процессы распада, которые для дотепловых фононов были совершенно неважны из-за своего малого фазового объема. Хорошо известна частотная зависимость как раз для сверхтепловых фононов — для них  $\tau_N^{-1}(\omega_q)$  не зависит от температуры и пропорционально пятой степени частоты фонона [9]. Процессы слияния и распада фононов протекают неодинаково для фононов различных ветвей, но обычно используется модель с одним временем релаксации для всех ветвей. Рассматривается фононная кинетика для анизотропной среды, в которой характер поляризации в упругой волне зависит от направления волнового вектора фонона в кристалле. В результате взаимодействия между волнами разных ветвей происходит усреднение времени релаксации как по направлениям волнового вектора фонона в кристалле, так и по разным ветвям фононного спектра, с которыми взаимодействуют фононы выделенной ветви.

Все вышеизложенное является основанием к использованию в фононной кинетике изотропного времени релаксации. Мы предлагаем интер-

поляционное выражение для  $\tau_N(\omega_q)$ , учитывающее все процессы фонон-фононного рассеяния и справедливое поэтому как для дотепловых, так и для сверхтепловых фононов

$$\tau_N^{-1}(\omega) = \tau_2^{-1} [\hbar\omega/kT + \alpha(\hbar\omega/kT)^5]. \quad (10)$$

Численный параметр  $\alpha$  в (10) характеризует роль процессов присоединения выделенного фона на с частотой  $\omega$  к тепловым фононам по отношению к процессам его распада на фононы более низких частот. Можно ожидать, что величина  $\alpha \approx 1$ . Выражение (10) по порядку величины может быть применимо и для тепловых фононов.

Использованная нами для анализа теплопроводности сплавов  $\text{Bi}_{1-x}\text{Sb}_x$  ( $0.085 \leq x \leq 0.15$ ) теория теплопроводности «грязного» диэлектрика не учитывает влияния примеси на  $\tau_N$ , поскольку исследованные сплавы имели относительно небольшую концентрацию Sb. Поэтому выше мы считали  $\tau_N$  не зависящим от  $x$ . Но это и означает, что  $\tau_N$  одинаково как в «грязном», так и «чистом» висмуте.

Таким образом, нам необходимо сравнить наши данные с экспериментами, выполненными на более чистом висмуте. В первую очередь мы обращаемся к работе [5]. В ней приводятся данные исследования теплопроводности чистого висмута в узком температурном интервале  $1.5 < T < 10$  К и определено время релаксации фононов, обусловленное процессами переброса,  $\bar{\tau}_U$ . Кроме того, в этой работе была исследована зависимость теплопроводности от поперечных размеров образца, в том числе и для такой температурной области, в которой изменение теплопроводности обратно пропорционально поперечным размерам образца. Коэффициент теплопроводности для таких образцов намного меньше коэффициента теплопроводности бесконечного образца  $\kappa_\infty$ . Теория этого размерного эффекта для цилиндрического образца изложена в книге [9]

$$\kappa(R) = \kappa_\infty(1 - 2r_c/R), \quad r_c = (3\kappa_\infty\bar{\tau}_N/5C(T))^{1/2}. \quad (11)$$

Здесь функция  $\bar{\tau}_N$  с чертой, как и  $\bar{f}(\omega)$ , означает определенный закон усреднения ее по всем частотам

$$\bar{f}(\omega) = \int_0^\infty dx \frac{x^4 f(xkT/\hbar)}{4sh^2(x/2)} / \int_0^\infty dx \frac{x^4}{4sh^2(x/2)}. \quad (12)$$

В нашей статье [10] было показано, что температурная зависимость размерной поправки теплопроводности как раз соответствует формуле (11). В работе [5] величина  $\bar{\tau}_U$  находилась по данным о теплопроводности висмута при помощи формулы

$$\kappa_\infty = \frac{1}{3} C(T) v^2 \bar{\tau}_U. \quad (13)$$

Отметим, что величина  $\bar{\tau}_U$  в комбинации с данными по размерному эффекту теплопроводности (11) позволяет определить и  $\bar{\tau}_N$ , которое при  $T = 4.5$  К оказалось равным  $\tau_N = 2 \cdot 10^{-8}$  с. Теперь найдем  $\tau_2$  для тепловых фононов с частотой  $\omega = kT/\hbar$  при  $T = 4.5$  К, используя формулу

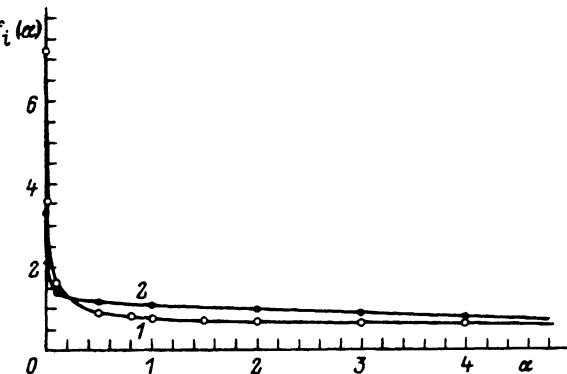


Рис. 2. Зависимость функций  $f_1(\alpha)$  и  $f_2(\alpha)$  от параметра  $\alpha$ .

(4) с  $B = 1.7 \cdot 10^{-9} \text{ K}^{-4}$ . В результате получаем  $\tau_2 = 2.5 \cdot 10^{-6} \text{ с}$ . Чтобы проверить, как эти данные соотносятся друг с другом, мы должны использовать формулу (10), а также определение процедуры усреднения согласно уравнению (12). В результате получим

$$\bar{\tau}_N = \tau_2 \int_0^{\infty} dx \frac{x^4}{4sh^2(x/2)} \frac{1}{(x + \alpha x^5)} / \int_0^{\infty} dx \frac{x^4}{4sh^2(x/2)} = \tau_2 \frac{f_1(\alpha)}{(4\pi^4/15)}. \quad (14)$$

В знаменателе стоит большое число 26.5, функция  $f_1(\alpha)$  была определена численным интегрированием (рис. 2). Она оказалась очень резкой при малых значениях  $\alpha < 1$ , где  $f_1(\alpha)$  уменьшается почти экспоненциально, а при  $\alpha$  порядка единицы она меняется довольно медленно около значения  $\sim 0.5$ . Окончательным результатом является уменьшение  $\bar{\tau}_N$  по сравнению с  $\tau_2$ . По нашему мнению, соотношение между  $\bar{\tau}_N$  и  $\tau_2$ , следующее из (14), свидетельствует о том, что расхождение в определении этих величин, полученных из данных для дотепловых и тепловых фононов, не очень велико.

Согласно теории теплопроводности, время релаксации тепловых фононов обратно пропорционально пятой степени температуры. Эта степень определяется следующими свойствами фононной системы: трехмерностью пространства, законами сохранения энергии и квазимпульса фононов и пропорциональностью ангармонического взаимодействия упругих волн не смещению в волне, а деформации. Последнее свойство вытекает из однородности пространства. Это самые общие свойства, которые не могут быть даже незначительно нарушены, но их совокупность обеспечивает именно пятую степень в температурной зависимости обратного времени релаксации фононов.

Отметим, что в монографии [8], как и в статьях [1,2], степенная зависимость обратного времени релаксации нормальных фонон-фононных процессов, найденная по экспериментальным данным теплопроводности, существенно меньше пяти. Эту процедуру никак нельзя признать последовательной. Она свидетельствует только о том, что в процессы релаксации к нормальным фонон-фононным процессам «подмешаны» другие процессы, которые не учитываются при анализе и имеют более слабую температурную зависимость. Мы хотели бы отметить работы [11,12] по теплопроводности твердого гелия и NaF, в которых авторы, тщательно

разделяя различные процессы рассеяния, склонились к экспериментальному подтверждению пропорциональности  $\bar{\tau}_N^{-1}$  пятой степени температуры. Таким образом, температурная зависимость в работах [1,2] не согласуется с теорией. Это говорит о неучете каких-то важных факторов, и их данные для величины  $\bar{\tau}_N$  не могут быть приняты нами. В статье [1] варяду со слагаемым теплопроводности, пропорциональным  $\bar{\tau}_N$ , должен присутствовать основной член, равный

$$\chi_0 = nk^4 T^3 \tau_{1/(360\pi^2 v \hbar^3)}. \quad (15)$$

Эта часть теплопроводности, пропорциональная  $1/T$ , связана с резистивными процессами рассеяния фононов на примесях. Обработка данных статьи [1] показывает, что это слагаемое по-иному зависит от температуры, что подтверждает наше предположение о неучете еще каких-то механизмов рассеяния фононов. Можно предположить, что наличие донорных примесей Те порождает заметное количество свободных электронов, взаимодействие которых с фононами было недостаточно учтено при обработке экспериментальных данных [1].

В статье [2] величину времени релаксации нормальных процессов авторы получают из температурной зависимости времени прибытия максимума теплового импульса. При этом для величины времени прибытия  $t$  используется следующая формула, относящаяся к гармонической волне второго звука частоты  $\omega$  и скорости  $v_2$

$$t = L/v_2 - L\omega^2 \tau^2/v_2, \quad (16)$$

где  $L$  — длина кристалла, которая является расстоянием между источником и приемником теплового импульса.

Однако тепловой импульс состоит из набора волн самых разных частот, поэтому не очень понятно, какую величину  $\omega$  использовали авторы [2] при подстановке в (16) для определения таким образом величины  $\tau$ . Некоторая неточность состоит и в неучете энергетической зависимости времени релаксации. Авторы [2] получили, что величина температурно-зависящего сдвига максимума  $\delta t = t - L/v_2$  обратно пропорциональна восьмой степени температуры, из чего, согласно с (16), сделано заключение о зависимости  $\tau \sim T^{-4}$ .

Для распространения импульсов второго звука одним из авторов была развита строгая теория, подробное изложение которой уело бы нас в сторону от предмета данной статьи. Поэтому приведем без вывода следующее из этой теории выражение для величины температурно-зависящего сдвига максимума импульса

$$\delta t = 3 [\tau^2/\bar{\tau} + 9\bar{\tau}/5]/2. \quad (17)$$

Согласно (17), сдвиг  $\delta t$  должен быть пропорционален  $T^{-5}$ , что плохо согласуется с данными [2]. Посмотрим, есть ли тем не менее какое-либо численное соответствие. Раскрывая выражение (17) с учетом (10) и (12), получим

$$\delta t = -\frac{3}{2}\tau_2 \left[ \frac{f_2(\alpha)}{f_1(\alpha)} + \frac{27}{4} \frac{f_1(\alpha)}{\pi^4} \right],$$

$$f_2(\alpha) = \int_0^\infty dx \frac{x^2}{4 \sinh^2(x/2)} \frac{1}{(1 + \alpha x^4)^2}. \quad (18)$$

Функция  $f_2(\alpha)$ , определенная численным интегрированием, представлена на рис. 2. В формуле (18) преобладающим является первое слагаемое. Используя его, для  $\alpha \approx 1$  мы получим из данных [2] оценку для  $\tau_2$  при  $T = 3$  К, не очень отличающуюся по величине от  $\tau_N$  из (4) с определенным выше коэффициентом  $B = 1.7 \cdot 10^{-9}$  К $^{-4}$ .

Численные данные для фононных времен релаксации позволяют оценить некоторые микроскопические параметры решетки кристалла. Известно, что рассеяние фонона на примеси происходит из-за различия масс основного атома решетки и атома примеси и различия силовых постоянных, а также из-за смещения соседних атомов. Только первая причина дает выражение, в котором все величины известны [8]

$$\tau_{\Delta M}^{-1}(\omega) = a^3 \omega^4 x (\Delta M/M)^2 / (4\pi v^3), \quad (19)$$

где  $a^3 = 3.5 \cdot 10^{-23}$  см $^{-3}$  — объем атома в решетках Bi и сплава Bi $_{1-x}$ Sb $_x$ ,  $M$  — масса атома решетки сплава,  $\Delta M$  — различие в массах атомов Bi и Sb,  $x$  — относительная концентрация Sb в сплаве.

Определенные выше данные для  $\tau_1$  в сплавах Bi $_{1-x}$ Sb $_x$  ( $0.085 \leq x \leq 0.15$ ) при  $T = 7$  К оказались близкими с данными  $\tau_{\Delta M}^{-1}$ , найденными по формуле (19). Это означает, что в висмуте примесное рассеяние определяется в основном различием масс примесного атома и атома висмута, тогда как изменение силовой постоянной почти незаметно в рассеянии фононов на примеси.

Ангармоническое взаимодействие фононов, обусловливающее нормальные процессы рассеяния, описывается с помощью безразмерного параметра Грюнайзена  $\gamma$ , характеризующего отношение ангармонических модулей третьего порядка к упругим модулям второго порядка (по терминологии книги [8], упругий модуль второго порядка — это усредненное значение деформационного потенциала фононов). Время  $\tau_N$  выражается следующим образом через параметр Грюнайзена:

$$\tau_N^{-1} = \frac{\pi^3}{15} \gamma^2 (kT)^4 \omega_q (2/v_t + 1/v_l) / (\rho \hbar^3 v_l^4) \simeq D \gamma^2 (kT)^4 \omega_q / (\rho \hbar^3 v^5). \quad (20)$$

Формула написана в модели изотропной среды с учетом двух поперечных и одной продольной упругих волн. Для анизотропной среды численный коэффициент  $D$  существенно зависит от процедуры усреднения как анизотропного тензора постоянных Грюнайзена, так и анизотропных скоростей. Уравнения (20) и (4) аналогичны. Поэтому сравнивая их, можно оценить параметр Грюнайзена для Bi, который оказался равным  $\gamma = 1.4$  при  $D = 1$  и  $B = 1.7 \cdot 10^{-9}$  К $^{-4}$ . По порядку величины определенный параметр  $\gamma$  совпадает с литературными данными для Bi, найденными по тепловому расширению [13].

Обычно считается, что исследование теплопроводности позволяет определить по различным зависимостям преобладающий процесс рассеяния в кинетике фононной системы диэлектрика. При этом численные

величины, характеризующие темп релаксации в таких процессах, считаются определенными ненадежно. Мы думаем, что использование описываемых теорией характерных участков в зависимостях теплопроводности позволяет с достаточной точностью определить численные значения величин, характеризующих кинетику фононов. В данном случае в качестве таких величин выступают времена релаксации фонон-примесного и нормального фонон-фононного рассеяния.

Авторы выражают благодарность Н.А.Родионову и В.И.Польшину за выращенные монокристаллы сплавов Bi-Sb.

### Список литературы

- [1] Кузнецов М.Е., Оскотский В.С., Польшин В.И., Шалыт С.С. // ЖЭТФ. 1969. Т. 57. № 10.С. 1112–1117.
- [2] Narayanamurti V., Dynes R.C. // Phys. Rev. Lett. 1972. V. 28. № 22. P. 1461–1465.
- [3] Каган В.Д., Редько Н.А. // ЖЭТФ. 1991. Т. 100. № 10.С. 1205–1218.
- [4] Issi J.-P., Hermans J. // Proc. XY Int. Conf. on Thermal Conductivity. Ottawa, 1977. P. 63–67.
- [5] Копылов В.Н., Межов-Деглин Л.П. // ЖЭТФ. 1973. Т. 65. № 8.С. 720–734.
- [6] Ландау Л.Д., Лифшиц Е.М. Статистическая физика. Ч. I. М.: Наука, 1976. С. 583.
- [7] Eckstein Y., Lawson A.W., Reneker D.H. // J. Appl. Phys. 1960. V. 31. № 9. P. 1534–1538.
- [8] Берман Р. Теплопроводность твердых тел. М.: Мир, 1979. С. 286.
- [9] Гуревич В.Л. Кинетика фононных систем. М.: Наука, 1980. С. 400.
- [10] Редько Н.А., Каган В.Д. // ФТТ. 1991. Т. 33. № 8.С. 2413–2417.
- [11] Bertman B., Fairbank H.A., Guyer R.A., White C.W. // Phys. Rev. 1966. V. 142. № 1. P. 79–85.
- [12] Jackson H.E., Walker C.T. // Phys. Rev. B. 1971. V. 3. № 4. P. 1428–1439.
- [13] White G.K. // J. Phys. C: Solid State Phys. 1972. V. 5. № 19. P. 2731–2745.

Физико-технический институт  
им. А.Ф.Иоффе РАН  
Санкт-Петербург

Поступило в Редакцию  
8 февраля 1993 г.